

### III-113 直交異方性弹性地山内の円孔上に作用する荷重による応力および変形

京都大学・工学部 正員 丹羽義次  
京都大学・工学部 正員 小林昭一  
京都大学・大学院 学生員 平島健一

#### 1. まえがき

ダム・地下発電所あるいは圧力トンネル等の設計に際しては岩盤の力学的性質の慎重な検討が要求される。この岩盤の力学的性質は岩石あるいは岩塊のと水とは異なり、地盤学的な種々の影響をうけているため、これらの影響をうけたよその状態で現場岩盤試験を行なうことが必要である。ここでは岩盤の弹性係数(变形係数)の算定の一資料とするために岩盤を直交異方性体と仮定し、その弹性体内の円孔上に荷重が作用した場合の応力および変形状態を解析したものである。岩盤を2次元問題として取扱い、主弹性係数も円孔軸に垂直な面内にあるようなものと対象とした。前面の都合上、以下では木室試験の場合のようなH形巻立樫工と有する直交異方性岩盤のみを取りあげる。

#### 2. 直交異方性弹性体内的応力・変位

Fig. 1 に示すように座標軸を直交異方性体の弹性を軸にそらべ、応力

関数  $F$  は次の基礎方程式を満足しなければならない。

$$U_{12} \frac{\partial^2 F}{\partial z^2} + (2U_{12} + U_{66}) \frac{\partial^2 F}{\partial z^2 \partial y^2} + U_{11} \frac{\partial^2 F}{\partial y^2} = 0 \quad (1)$$

上式中の  $U_{11}, U_{12}, U_{66}$  の各係数は直交異方性体の弹性係数に換算したものである。 (1) 式を満足する解は (2) の解の複数を用いて求められ、これらについて応力および変位成分が一般的に与えられる。いよいよ特別な場合として円孔(や穴)周縁上に次式に示す垂直荷重  $P(\theta)$  または接線荷重  $Q(\theta)$  :

$$P(\theta) = \frac{d_0}{2} + \sum_{n=1}^{\infty} (U_{11} \cos n\theta + b_{n1} \sin n\theta), \quad Q(\theta) = \frac{c_0}{2} + \sum_{n=1}^{\infty} (U_{12} \cos n\theta + d_{n1} \sin n\theta) \quad (2)$$

が同時に作用する場合の円孔周縁における変位  $U_r, U_\theta$  は若手の計算の結果、

$$\left. \begin{aligned} U_r &= -\frac{d_0}{4} \left\{ P_0 d_0 + P_0 (d_0 - d_0) \right\} - \frac{d_0}{4} \sum_{n=1}^{\infty} \frac{1}{n^2 - 1} \left[ \{ j_{n+1} (j_{n+2} + j_{n+1}) + (P_n j_n - Q_n d_n) + P_0 (n-1) (d_{n+2} - d_{n+1}) \} \cos n\theta \right. \\ &\quad \left. + \{ -P_0 (n+1) (C_{n+2} + b_{n+1}) + (d_{n+1} - P_0 b_n) + j_0 (n-1) (C_{n+2} - b_{n+1}) \} \sin n\theta \right] \\ U_\theta &= \frac{1}{4} \left\{ P_0 c_0 - P_0 (c_0 - b_0) \right\} + \frac{1}{4} \sum_{n=1}^{\infty} \frac{1}{n^2 - 1} \left[ \{ P_0 (n+1) (C_{n+2} + b_{n+1}) - (P_n j_n - Q_n d_n) + P_0 (n-1) (C_{n+2} - b_{n+1}) \} \cos n\theta \right. \\ &\quad \left. + \{ P_0 (n+1) (d_{n+2} + d_{n+1}) + (d_{n+1} - P_0 d_n) - P_0 (n-1) (d_{n+2} - d_{n+1}) \} \sin n\theta \right] \end{aligned} \right\} \quad (3)$$

で与えられる。 $\vdash = 1$ ,

$$P_0 = 3 (d_0 - \frac{d_0}{n}), \quad j_0 = d_0 (3 + P_0) + 2 d_0 + \frac{d_0}{n} (3 - 1), \quad \bar{j}_0 = \sqrt{\frac{2 d_0 + d_0}{d_0}}, \quad \eta = \sqrt{\frac{d_0}{d_0}}$$

$$P_n = 2 \{ n \bar{j}_0 (d_0 + \frac{d_0}{n}) + (2 U_{12} + U_{66} \eta + \frac{d_0}{n}) \}, \quad Q_n = 2 \{ n (2 U_{12} + J_0 \eta + \frac{d_0}{n}) + 3 (d_0 + \frac{d_0}{n}) \}$$

つまり、等角等方弹性体の円形樫工、円柱管、穴や穴の外縁に垂直に作用する荷重  $P(\theta)$  やか  $Q(\theta)$  が作用する場合の樫工内の応力・変位は Airy の応力関数中:

$$\begin{aligned} \psi &= A_0 r^2 + B_0 x_0 r + C_0 \theta + \{ -A_1 r^3 - B_1 r^2 \} \cos \theta + \{ A_1 r^3 - B_1 r^2 \} \sin \theta \\ &\quad + \sum_{n=2}^{\infty} \{ (A_n r^{n+2} + B_n r^n + C_n r^m + D_n r^{m+2}) \cos n\theta + (E_n r^{n+2} + F_n r^m + G_n r^{m+2}) \sin n\theta \} \end{aligned} \quad (4)$$

を利用して、次式で求められる。ただし樫工は平面ひずみ状態を仮定する。

$$\left. \begin{aligned} \sigma_r &= \frac{1}{r} \frac{\partial \psi}{\partial r} + \frac{1}{r^2} \frac{\partial^2 \psi}{\partial \theta^2}, \quad \sigma_\theta = \frac{\partial^2 \psi}{\partial r^2}, \quad \sigma_{rz} = -\frac{\partial}{\partial r} \left( \frac{1}{r} \frac{\partial \psi}{\partial \theta} \right) \\ U_r &= \frac{1+v}{E} \left\{ \frac{\partial \psi}{\partial r} + v \left( 1 - \frac{1}{v} \right) r \frac{\partial^2 \psi}{\partial r^2} \right\}, \quad U_\theta = \frac{1+v}{E} \left\{ -\frac{\partial^2 \psi}{\partial r^2} + v \left( 1 - \frac{1}{v} \right) r \frac{\partial^3 \psi}{\partial r^2 \partial \theta} \right\} \end{aligned} \right\} \quad (5)$$

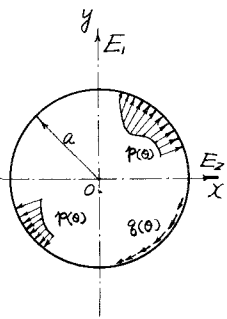


Fig. 1

$\varepsilon = 1$ ,  $E$ ,  $V$  は覆工の弾性係数, ポアソン比,  $\psi$  は変位関数である。

覆工内の応力, 変位式中の未知係数  $A_n, B_n, \dots, A_m, B_m$  等は覆工に与えられた境界条件によって決定される。いま, たとえば覆工の内側より算分布内圧  $P_0$  および覆工外縁に沿う式の荷重が作用する場合, これらの未知係数は  $a_n, b_n, c_n, d_n$  および  $p$  によって表わされる。

### 3. 境界条件

[条件 I] 境界 ( $r = R$ ) において応力, 変位が完全に連続している場合。

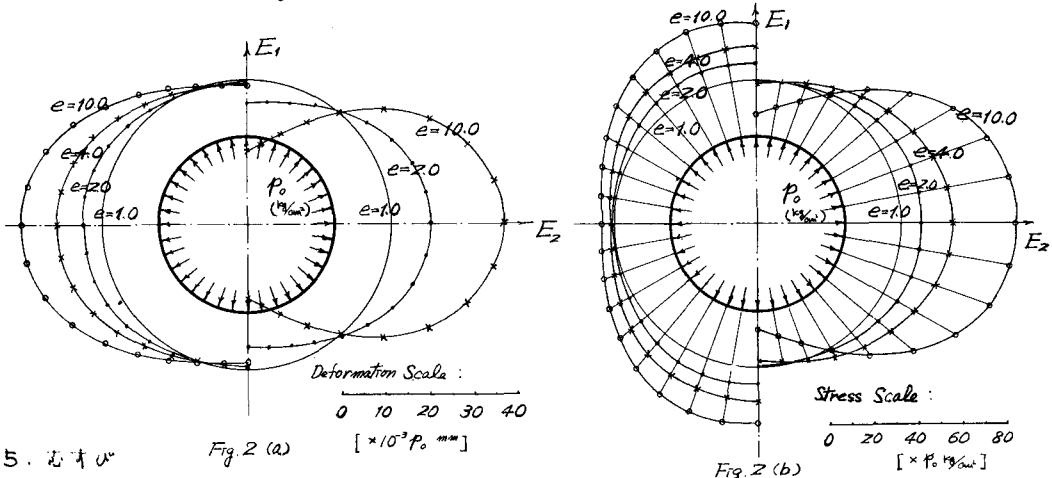
境界での応力  $P(r)$ ,  $\psi(r)$  は直交異方性体および円形覆工に対して同一の式を用いて計算してあるから, (3)式の変位  $U_r, U_\theta$  と (5)式により計算した覆工外縁 ( $r = R$ ) での変位  $U_r, U_\theta$  はそれ自身等しいわけだが, この境界条件が満足され。この場合, 三角彎曲の係数比較により未知数を  $a_n, b_n, c_n$  および  $d_n$  とする無限直立一次方程式が得られる。しかしながら, このままでは解けないので以下に示す数値計算の結果を 24 時間で, 最後の項の  $a_{24}$  を  $a_{24} = 0$ ,  $c_{24} = b_{24} = 0$  とすれば等しいにおいて係数  $a_n, b_n, c_n$  および  $d_n$  の値を求めた。

[条件 II] 境界 ( $r = R$ ) において半径方向の応力, 変位のみが連続している場合

この場合は [条件 I] ごとく無限直立一次方程式のうち半径方向の応力, 変位に直角すき係数  $c_n, d_n$  のみをゼロとおいておればよい。数値計算で [条件 I] の場合と同様にこれを 24 時間で計算を行なった。

### 4. 数値計算例

円形覆工の内, 外半径をそれぞれ  $b = 100\text{mm}$ ,  $R = 120\text{mm}$ , 弾性常数を  $E = 2.1 \times 10^5 \text{kg/cm}^2$ ,  $V = 0.200$ , また直交異方性体の弾性常数を  $E_1 = 6.0 \times 10^4 \text{kg/cm}^2$ ,  $V_1 = 0.200$ ,  $E_{42} = E_1 + \frac{1}{E_1} + \frac{2V_1}{E_1}$ ,  $E_2 = E_1 E_2 / (E_1 + E_2)$  で数種類に変化させて覆工の内周部の直角変化および応力  $\sigma_R$  の分布を Fig. 2 (a), (b) に示した。図の左半分は条件 I, 右半分は条件 II による場合のものである。



5. 記号

Fig. 2 (a)

Deformation Scale:  
0 10 20 30 40  
[ $\times 10^{-3} P_0 \text{ mm}$ ]

Stress Scale:  
0 20 40 60 80  
[ $\times 10^{-3} \text{kg/cm}^2$ ]

以上、直交異方性体内部の応力分布は、荷重作用内圧が作用しない場合の例となりあげたが、この他に直交異方性体内部の内圧上に部分荷重として集中荷重が作用する場合(シヤンク荷重)の数値計算も行なは、これらに上記の結果の直交異方性体構造のための新規法による計算結果と併せて掲示する。